

1. 研究の目的、概要.

従来、ラーメン構造などの強度設計をする場合に、これを細い線状の棒の結合より成る骨組構造物として解析し、不静定反力などを求めた後、各部材毎に Bernoulli-Euler の解析理論を適用して、種々の断面内の応力度を算定する方法が採られている。しかし、ラーメン隅角部のような特異点を含む領域では、Bernoulli-Euler の解析理論のような初等的解析法は勿論、一般の応用弾性学上の解析公式すらも、そのままでは成立しないのが常であつて、その結果、隅角部の棒状部分では、従来これら純解析的手法で求められた値は、何れも現実の応力値とは極めて程遠い異状にある。又通常この部分にはハンチがある場合が多いが、ハンチのない棒状部分でも、各部材毎の *deflection curve* は、棒の内側境界線において理論値と著しい相違を示し、この曲線の微分値は、理論値のそれと比べて、遙かに異なる値を示す。従つて *deflection angle (slope)* と共軛複素函数の関係にある主応力値の値は、内側境界線において理論値と極めて著しい相違を示し、特に直線型隅角部では、理論的に常に ∞ の値に達する。この事実は従来、明確に指摘されていなかった点であつて、従来析の衝撃振動の現場実験などにおいて、周波数測定値が理論値と甚だしく相違しないにもかかわらず、応力測定値が、理論値と比べて極めて相違している理由の一つとして、当然のこと、考えられる。著者は上記の様を、従来の盲点を明確にし、進んで適正な応力計算及びハンチ形状を定めるために、光弾性学的解析方法を用いて、隅角部特異点周辺の主応力度及びその走行方向（主応力線）について、系統的に数多くの研究を行つたが、以下に述べるものは、時間及び紙数の関係上、隅角部の特異点のうち、隅角部に生ずる極点 (pole) について、実用上重要と考えられる項目についてののみ、要点を採筆したものである。

2. 内側隅角部近傍の応力分布.

(i) 直線型隅角部が特異点(極点)であることについて.

先づ直線型隅角部が特異点で且つ極点であることについて、直観的で最も簡潔な証明を一つだけ掲げて置こう。一般に自由境界線に垂直な主応力は常に 0 であることは明白であるが、直線型隅角部では、隅角部で二つの自由境界線が交るため、二つの自由境界線に垂直な、二つの主応力は、隅角部において、共に 0 になければならない。従つて隅角部は常に 0 の点にならなければならないという結論に達する。然るに外力の下にある内側隅角部は事實上、明らかに 0 の点ではなく、応力の集中点である。これは、矛盾であつて、隅角部が通常点の概念を適用し得ない応力集中点即ち極点であることを示すものに他ならない。

(ii) 直線型隅角部において、応力強度は常に ∞ に達することについて.

このことについても、上述の場合と同様、簡単にために直観的証明を一つだけ掲げる。

ρ を主応力値、 ϕ を点 (x, y) の rigid body rotation、 E を材料のヤング率、 $K = E\phi$ 、とすれば

$$\left. \begin{aligned} \rho &= \sigma_1 + \sigma_2 \\ K &= \frac{1}{2} \left(\frac{\partial u}{\partial x} - \frac{\partial v}{\partial y} \right) E = E\phi \end{aligned} \right\}$$

なる函数 ρ と K とは、共軛複素函数で、互に直交正方形網目を形成し、夫々の *net* は互に他の *gradient*

の方向に向つて進行し、夫々の gradient の値は相等しい。(ref. A und L. Föppl; Drang und Bewegung Band 1, S 43)。一方、直線型隅角部の等色線(又は等厚線)は、この隅角点を包圍するやまを同心円形の曲線線系をなす。今、この同心円形の高模様が隅角点を集積点として無数に存在することを証明すれば、(同心円形模様は隅角部の近傍に有限個はなく、無限個存在することを証明すれば)隅角点において、理論上応力値が ∞ に達することを証明し得たことになる。上述の様子に p と K とは直交正方形網目を形成しなげればならないが、隅角点を包圍する一つのやまを *isopachic curve* に直交する K -line のうち、少くとも1本は隅角点を通過しなげればならない。そこで p - K net の *pitch* を細かむれば少くとも何本かの K -line は隅角点を通過するであろう。(円弧型隅角部の円弧半径が無限大になつた場合を想定すれば、直観的にも首肯出来る。) 然る時は、隅角点を通過する数本の K -line は隅角点に近づくに従ひ、互に限りなく接近し、且つ、それら相互間の K -value の *pitch* は無限大ではなく有限な大きさを有するから、之と直交正方形網目を形成する p -line は隅角点を集積点として無数に存在し、且つその p -value の *pitch* は無限大ではなく有限な大きさを有することとなる。即ち、有限な大きさの p -value の *pitch* が、隅角点において無数に集積することとなる。換言すれば光弾性学的実験其他において、視覚上は隅角点に無数の等色線円が集積する様に見える場合でも(隅角交角が大きい場合には実験上は屢々、数個の等色線円が見えない場合が多い)、理論的にはこの点において応力値が無限大に達しなげればならない。

(1) 隅角点における応力計算式。

(2) 隅角点に向つて方向力 P が作用する場合

内側自由境界線を梁線として、隅角点近傍の等色線円の極坐標方程式は次の様になる。

$$r = K_1 P \left[\frac{\cos(\theta - \alpha - \delta)}{b \sin \theta} \right]^{1/n} \quad (1)$$

$$\tan \delta = \tan \beta \frac{2\alpha + \sin 2\alpha}{2\alpha - \sin 2\alpha} \quad (2)$$

(ref. M.M. Frocht, Photoelasticity vol II p 96~103)

又、等厚線円の極坐標方程式は、

$$r = K_1 P \left[\frac{\cos(\alpha + \delta)}{b \sin \theta} \right]^{1/n} \quad (3)$$

但し、 n : 等色線円又は等厚線円の高次数。

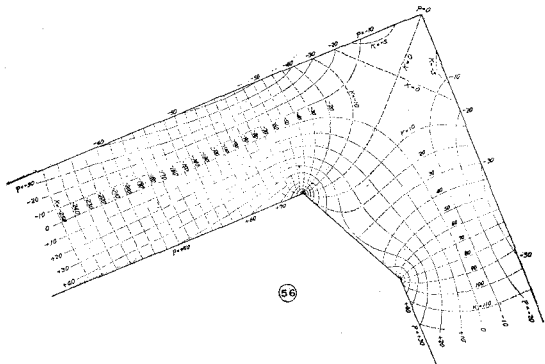
α : 隅角部の平分線を作る楔形頂角の $\frac{1}{2}$, β : 荷重 P の方向と楔形(隅角部の $\frac{1}{2}$)の対稱軸とのなす角(反時計方向に、楔形対稱軸より測る方向を $(+)$ とする), δ : 等色線円中心が並ぶ直線と楔形対稱軸との間の角度($(+)$ の方向は β と同じ), b : beam 部分の桁高, ρ : 梁点より隅角点近傍の任意の点までの距離, θ : 梁点より任意の点に至る方向を、梁線を基準として測つた角度, K_1 : 内側自由境界線の交角及び使用試験材料の光弾性感度によって定まる定数, n : 内側自由境界線の交角のみによって定まる定数, とする。

故に、任意の試験材料、寸法、荷重の組合せに対して次式が成立する。

$$\sigma_1 - \sigma_2 = K' \frac{P}{t} \left[\frac{\cos(\theta - \alpha - \delta)}{b \sin \theta} \right]^{1/n} \quad (4)$$

$$\sigma_1 + \sigma_2 = K' \frac{P}{t} \left[\frac{\cos(\alpha + \delta)}{b \sin \theta} \right]^{1/n} \quad (5)$$

但し、 $K' = \frac{K_1}{0.90}$ (即ち、 K' は内側自由境界線の交角のみによって定まる定数)



$$\begin{aligned} \sigma_1 &= \frac{K'P}{2t} \left[\frac{1}{b^{m+1}g} \right]^{\frac{1}{m}} \left\{ \cos^{\frac{1}{m}}(\alpha+\gamma) + \cos^{\frac{1}{m}}(\theta-\alpha-\gamma) \right\} \\ \sigma_2 &= \frac{K'P}{2t} \left[\frac{1}{b^{m+1}g} \right]^{\frac{1}{m}} \left\{ \cos^{\frac{1}{m}}(\alpha+\gamma) - \cos^{\frac{1}{m}}(\theta-\alpha-\gamma) \right\} \end{aligned} \quad \dots\dots\dots (6)$$

(b) 隅角点に対して純モーメントMが作用する場合、

極坐標軸(a)の場合と同様に取りれば、等色線図の極坐標方程式は次の様になる。

$$n = K_2 \frac{M}{b} \left[\frac{\cos(\theta+32^\circ30')}{b^{m+1}g} \right]^{\frac{1}{m}} \quad \dots\dots\dots (7)$$

又等厚線図の極坐標方程式は

$$n = K_2 \frac{M}{b} \left[\frac{\cos 32^\circ30'}{b^{m+1}g} \right]^{\frac{1}{m}} = K_2 \frac{M}{b} \left[\frac{0.843}{b^{m+1}g} \right]^{\frac{1}{m}} \quad \dots\dots\dots (8)$$

$$\begin{aligned} \therefore (a) \text{の場合と同様に、} \sigma_1 &= \frac{K''M}{2bt} \left[\frac{1}{b^{m+1}g} \right]^{\frac{1}{m}} \left\{ 0.843^{\frac{1}{m}} + \cos^{\frac{1}{m}}(\theta+32^\circ30') \right\} \\ \sigma_2 &= \frac{K''M}{2bt} \left[\frac{1}{b^{m+1}g} \right]^{\frac{1}{m}} \left\{ 0.843^{\frac{1}{m}} - \cos^{\frac{1}{m}}(\theta+32^\circ30') \right\} \end{aligned} \quad \dots\dots\dots (9)$$

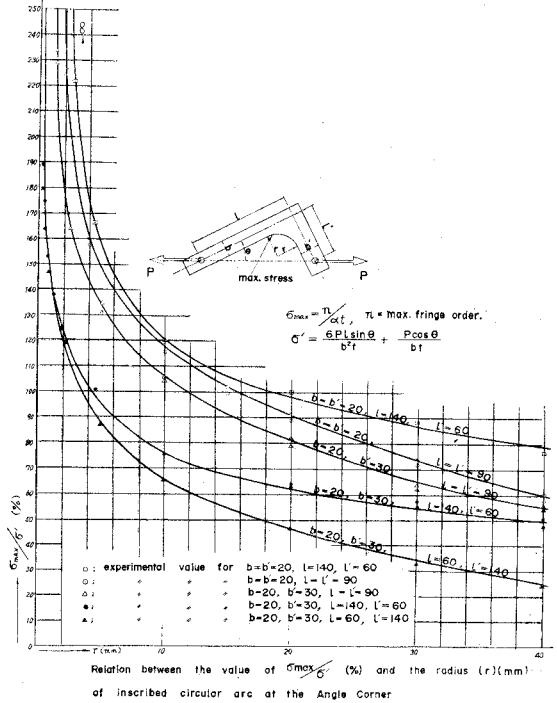
但し、 $K'' = \frac{K_2}{0.90}$ (即ち、 K'' は内側自由境界線の交角の $\frac{1}{2}$ による定数)とし、其他の記号は(a)と同様とする。 K', K'', m の値は $\sqrt{}$ (内側自由境界線の交角の $\frac{1}{2}$)の関係は真数の都合により省略する。一般の荷重状態即ち方向力PとモーメントMとが同時に、隅角点に作用する場合には隅角点近傍の主応力値は(6)式、(9)式の値を合成したものと看做する。この場合、近似的には、両方の場合における主応力方向が同一なものと見て、單に代数的に加之させても差支ないものと考えられる。

(iv) 円弧型内側隅角における応力度

右の図は内側隅角部半径 r と、 σ_{max}/σ' (%)

[σ_{max} : 光弾性実験より得られた最大応力度,
 σ' : Bernoulli-Eulerの板理論より計算した
 応力度 $= \frac{6Pl \sin \theta}{bt^2} + \frac{P \cos \theta}{bt}$] の関係を示したものである。この図は $r/b = 0.5 \sim 1.0$

附近では σ_{max} は Bernoulli-Euler の理論値と等しいが(100%)、 r/b の値が上記の値より小さくなると、最大応力値は理論値よりも急に甚だしく大となり、 $r \rightarrow 0$ では遂に直線型隅角点の応力値(∞)に達することがわかる。 $r \rightarrow 0$ となるに従って、隅角点に極点を生ずる過程は、最初、隅角部に(+1, -1, +1)階の3個あった点が遂に合一して、単一直線型隅角点の場合の様に、完全に1個の(+1)階の1点を生ずるに至る状況が明瞭にうかがうことが出来る。円弧型隅角部では、 r が無限大に限り、直線型隅角点又は集中荷重点下の応力値の様に ∞ に達することはなく、分布荷重



下の応力の様は、常に有限な大きさの範囲内に止まる。従つて、強度の観点からすれば、隅角部の形として直線型隅角よりも、円弧型隅角を採用することが、常に望ましい。

3. 隅角部の撓み曲線の理論値と実際値との比較。

一般に弾性体の撓みは主として、その構成微要素における剛体角変位 (Rigid body rotation) の蓄積的効果によつて生ずるものと考えられる。今 $p = \sigma_1 + \sigma_2$; $K = \frac{1}{2} \left(\frac{\partial \sigma_1}{\partial x} - \frac{\partial \sigma_2}{\partial y} \right) E = E \phi = E \frac{dy}{dx}$ (ϕ は Rigid body rotation 又は deflection slope) とすれば、前述の様は p と K とは変数複素函数で直交正方形網目を形成する。従つて、撓み曲線は、Impachic curve p の直交網目を形成する様を描いた K -net の値を積分することによつて得られる。一方理論上の撓み曲線は $E \frac{d^2y}{dx^2} = -\frac{M}{I} = -\frac{\sigma}{\frac{b}{2}}$; $E \frac{d^2y}{dx^2} = \int \frac{-2\sigma}{b} dx$, $\therefore Ey = \iint \frac{-2\sigma}{b} dx dx$ とし得る。

右図はこの様にして実験の結果をもとに描いたもので、試験片は、前掲の 160-pachic p 及び rigid body rotation $\phi \cdot E = K$ の図と同一のものである。この図では、ラーメンの隅角点 (結合点) における

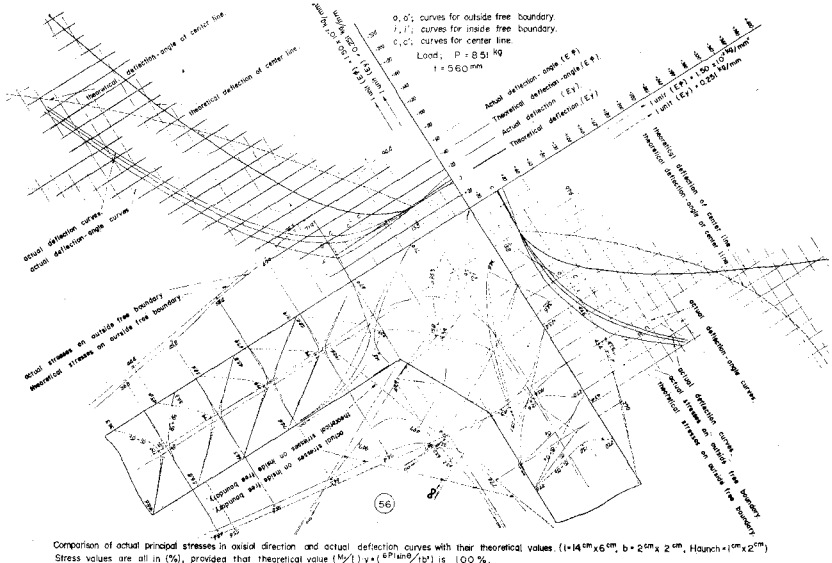
extreme fiber-stress

$$\sigma = \frac{M_0 y}{I} = \frac{6Pl \sin \theta}{bt}$$

の値を 100% とし

凡この主応力値を (%) の比率で示してある。但し、deflection は荷重 P によつて異なるので、荷重値が明示してあるが、 $E\phi$ 及 Ey は共に、使用材料に無関係な量であつて、同一寸法の試験片については、外力の大きさに比例し、寸法の異なる試験片については、相似試験片の寸法の二乗に比例して外力の大きさを變へるならば、 $E\phi$ 中、相似の点については、同一の値となるものである。この結果によれば、實際の撓み曲線は常に理論撓み曲線よりも小さいが、応力度は内側境界隅角点において、常に理論値を遙かに凌駕してゐる。又、實際の撓み曲線は理論値と隅角部近傍において、相當な相違を示すので、slope deflection method や moment distribution method などの skeleton mechanics で計算した不静定反力をどの程度その誤差が考えられるかが必ずなく、更に応力度を Bernoulli-Euler の理論によつて計算することによる二重の誤差が生ずる結果となり、この部分では事実と著しく相違するに至る。

又、deflection curve は中心線、上側自由境界線、下側自由境界線によつて異なる、振動の場合における normal modes や frequency は殆んど中心線の deflection curve によつて決定せられるであろうが、桁部分の長さ、桁高に比して極めて大きくない限り、このような振動性状も、ラーメンでは著しい相違を示すことが考えられる。



Comparison of actual principal stresses in actual direction and actual deflection curves with their theoretical values (1=14°x6°, b=2°x2°, Hanch=1°x2°). Stress values are all in (%), provided that theoretical value (M/1) x (6°/4°) / (12°) is 100%.